

## \*بازیافت آلیاژ اینکنل ۷۳۸ از پره‌های مستعمل توربین گازی به روش ESR

کاظم حنایی<sup>(۴)</sup>حسین عبدالزاده<sup>(۳)</sup>شهرام رایگان<sup>(۲)</sup>علی فرنیا<sup>(۱)</sup>

### چکیده

در این تحقیق، بازیافت پره‌های مستعمل توربین از جنس اینکنل ۷۳۸ به روش ESR درون یک قالب مسی با آب‌گرد بررسی شده است. با استفاده از سرباره‌ی مناسب و افزودن آلومینیم فلزی، ترکیب اصلی آلیاژ بدون تغییر حفظ شد، و میزان گازهای اکسیژن، هیترورزن و نیترورزن در حد قابل قبولی قرار گرفت. برای بررسی تأثیر ذوب مجده با سرباره‌ی الکتریکی بر ریزساختار، خواص کششی و رفتار پیرسختی آلیاژ، نمونه‌ها تغییر شکل گرم شدن و سپس عملیات حرارتی انجام شد. نتایج نشان دادند که ریزساختار، خواص کششی و رفتار پیرسختی آلیاژ در نتیجه‌ی ذوب مجده با سرباره‌ی الکتریکی مشابه با حالت استاندارد این آلیاژ هستند، و بهین ترتیب از روش ذوب مجده با سرباره‌ی الکتریکی می‌توان برای بازیافت قراضه‌های سوپرآلیاژ اینکنل ۷۳۸ استفاده کرد.

**واژه‌های کلیدی** بازیافت، ESR، اینکنل ۷۳۸، استحکام، پیرسختی.

## Recovery of INCONEL738 Superalloy from Used Gas Turbine Blades by ESR Method

A. Farnia

S. Raygan

H. Abdizadeh

K. Hanaei

### Abstract

In this study, attempts were made to recover the used turbine blades made up of INCONEL738 by Electro Slag Remelting (ESR) method. Using an appropriate slag and addition of metallic aluminum, the original composition was maintained and the amount of oxygen, hydrogen and nitrogen remained in the acceptable level. In order to explore the effect of remelting with ESR on the microstructure, tensile properties and age hardening behavior of the investigated alloy, the as-cast and wrought samples were solution treated at 1120 °C and aged at 845 °C for different lengths of time. The results showed that the microstructure, tensile properties and age hardening behavior of ESR melted INCONEL738 are similar to corresponding standard values and hence, the ESR method was found appropriate to be used to recovery the INCONEL738 alloy from the used turbine blades.

**Key Words** Recovery, ESR, INCONEL738, Strength, Aging.

\* نسخه‌ی نخست مقاله در تاریخ ۹۰/۷/۱۹ و نسخه‌ی پایانی آن در تاریخ ۹۱/۳/۲۷ به دفتر نشریه رسیده است.

(۱) دانش آموخته‌ی کارشناسی ارشد، دانشکده‌ی مهندسی متالورژی و مواد، پردیس دانشکده‌ی فنی، دانشگاه تهران

(۲) نویسنده‌ی مسئول: دانشیار دانشکده‌ی مهندسی متالورژی و مواد، پردیس دانشکده‌ی فنی، دانشگاه تهران

(۳) گروه پژوهشی مواد، جهاد دانشگاهی، دانشگاه تهران

(۴) گروه پژوهشی مواد، جهاد دانشگاهی، دانشگاه تهران

استفاده می‌شوند. در روش ESR، فلز مورد نظر به صورت الکترود مصرفی استفاده شده و عمل ذوب در یک قالب مسی آبگرد شده حاوی سرباره‌ی مذاب انجام می‌گیرد. گرمای لازم برای ذوب از مقاومت الکتریکی سرباره‌ی مذاب تأمین می‌شود.

در این تحقیق، الکترود ESR از اتصال پره‌های تورین مستعمل تهیه شد و با انتخاب سرباره‌ی حاوی  $TiO_2-CaF_2-Al_2O_3$ ، مجددًاً ذوب شدند. از آنجا که آلیاژ مورد مطالعه هم به شکل کارشده (اینکنل ۷۳۸) و هم به شکل ریختگی (IN ۷۳۸) تولید می‌شود [3]، نمونه‌ها در حالت گرم تغییر شکل یافته‌ند و پس از آن، در دو حالت کارشده و ریختگی عملیات حرارتی شدند. ریزساختار، رفتار پیرسختی و خواص کششی آلیاژ عملیات حرارتی شده بررسی شدند، و نتایج با ویژگی‌های استاندارد آلیاژ 738 مقایسه شدند تا به این وسیله، میزان بازیابی خواص مکانیکی و ریزساختار مشخصی که به روش ESR مجددًاً ذوب شده است، تعیین شود.

### روش آزمایش

برای ذوب قراضه‌های سوپرآلیاژ، از کوره‌ی ESR با قالب ثابت و برق متناوب استفاده شد. سرباره‌ی  $Al_2O_3-CaF_2$  تیتانیم، ۸ درصد وزنی  $TiO_2$  با خلوص ۹۸ درصد به آن اضافه شد. مقدار ۲۵۰۰ گرم از سرباره تهیه شد و قبل از استفاده از آن، به مدت زمان ۴ ساعت در دمای ۸۰۰ °C به منظور حذف رطوبت و ترکیبات فرآر، حرارت داده شد. افزون بر این، از تسممه‌ی آلومینیمی با خلوص ۹۹ درصد که به الکترود متصل بود، برای تأمین آلومینیم استفاده شد. فرایند با ایجاد قوس الکتریکی بین کف قالب و الکترود آغاز شد، و به این ترتیب سرباره ذوب شد. پس از آن، فرایند ذوب الکترود به شکل مقاومتی انجام گرفت. ولتاژ فرایند ۴۵ ولت و جریان اعمالی ۱/۵-۱/۲ کیلوآمپر انتخاب شد.

### مقدمه

سوپرآلیاژها از جمله آلیاژهای پیشرفته‌ای هستند که در شرایط دما بالا به کار می‌روند. این آلیاژها استحکام زیادی در دمای‌های بالا دارند و افزون بر آن، از مقاومت به خوردگی، اکسایش، خرزش و خستگی خوبی برخوردارند [1,2].

آلیاژهای سری اینکنل (INCONEL) جزوی از مجموعه‌ی سوپرآلیاژهای پایه نیکل هستند که از سال ۱۹۴۰ میلادی در کاربردهای دما بالا به کار رفته‌اند. سوپرآلیاژ اینکنل ۷۳۸ با افزودن عناصری مانند آلومینیم و تینانیم حین عملیات حرارتی با رسوب گذاری فاز  $[Ni_3(AlTi)]$  مستحکم می‌شود. این رسوب با ایجاد موانع مستحکم در برابر حرکت نابجایی‌ها، استحکام دما بالا و مقاومت به خرزش آلیاژ را افزایش می‌دهند.

روش ذوب و آلیاژسازی اینکنل شامل ذوب اولیه در کوره‌ی قوس الکتریکی و ذوب القایی در خلاء، تصفیه و گاززدایی در خلاء و یا تصفیه به روش ecarburazingd) کربن‌زدایی با اکسیژن و آرگون (AOE، Argon/oxygen و نهایتاً، ذوب مجدد با قوس الکتریکی در خلاء (VAR، Vacum Arc Remelting) یا ذوب مجدد به وسیله‌ی سرباره‌ی الکتریکی (ESR، Electroslag Remelting) می‌باشد.

با توجه به طولانی و پرهزینه بودن مراحل تولید سوپرآلیاژهای اینکنل و قیمت بالای عناصر آلیاژی به کار رفته در آن‌ها، انگیزه‌ی زیادی برای بازیافت آن‌ها از پره‌های تورین مستعمل وجود دارد. برای رسیدن به این هدف، پره‌های مستعمل را باید به عنوان الکترود آلیاژسازی کرده و سپس به روش VAR یا ESR مجددًاً ذوب کرد. از بین این دو روش، روش ESR به دلیل برخورداری از مزایای بسیاری از جمله تولید شمشهای سالم و بدون تخلخل، خواص مکانیکی و چکش خواری خوب، امکان انجام جهت‌دار شمش، مورد توجه قرار گرفته و برای بازیافت سوپرآلیاژها

نشان داده شده است. ترکیب شیمیایی قراضه‌ها و میانگین ترکیب شیمیایی شمش ESR پیش از انجام عملیات اصلاح ترکیب سرباره، در جدول (۱) نشان داده شده‌اند. همان‌طور که مشاهده می‌شود، تغییرات ترکیب شیمیایی، به‌جز در مورد آلمینیم، بسیار اندک و در محدوده قابل قبول از نقطه نظر استاندارد مربوط به آلیاژ IN738 می‌باشد [3].



شکل ۱ تصویر شمش ESR تولید شده در آن تحقیق.

برای جلوگیری از اتلاف تیتانیم، به سرباره اکسید تیتانیم افزوده شد. به‌این ترتیب، اتلاف تیتانیم بر اساس رابطه (۱) به حداقل مقدار خود می‌رسد [۱]:



با انجام این واکنش، مقداری از آلمینیم به‌شكل اکسید وارد سرباره خواهد شد. برای جبران اتلاف به‌وجود آمده، از آلمینیم فلزی به‌همراه الکترود استفاده شد. ترکیب شیمیایی شمش حاصل از فرایند ESR با سرباره اصلاح شده در سه نقطه از طول شمش در بخش مرکزی آن، در جدول (۲) نمایش داده شده است. مشاهده می‌شود که در هر سه مقطع، بر اساس منابع موجود، مقدار عناصر آلیاژی در محدوده قابل قبول است [3].

در حین انجام فرایند، گستره‌ای از توان برق، ۵۵ تا ۶۵ کیلووات، اعمال شد. در این شرایط، سرعت ذوب الکترود از  $0.8/3$  تا ۲ کیلوگرم بر دقیقه در نوسان بود. شمش استوانه‌ای حاصل به قطر تقریبی ۹۰ میلی‌متر و ارتفاع تقریبی ۱۰۰ میلی‌متر، دارای سطح ظاهری مناسب و وزن ۷ کیلوگرم بود. ترکیب شیمیایی شمش ESR به‌روش فلورسنس اشعه‌ای ایکس (XRF) مشخص شد. قراضه‌ی مستعمل اولیه فاقد پوشش سطحی بود، اما در صورت وجود مقادیر کمی از آن، این پوشش سطحی حین عملیات ذوب توسط سرباره‌ی ESR از مذاب جدا می‌شود. کار گرم به‌میزان ۵۰ درصد کاهش سطح مقطع به‌صورت قالب باز در دمای  $1150^{\circ}\text{C}$  و در دو مرحله، به‌منظور جلوگیری از ایجاد ترک احتمالی، انجام شد. برای مشاهده ساختار میکروسکپ نمونه‌ها، از میکروسکپ نوری استفاده شد، و محلول ماربل (10g CuSO<sub>4</sub>, 50ml HCl, 50ml H<sub>2</sub>O) برای حکاکی نمونه‌ها به کار گرفته شد. نمونه‌های ریختگی و کار شده در دمای  $1120^{\circ}\text{C}$  به‌مدت ۲ ساعت تاب‌کاری محلولی شدند و پس از آن، در دمای  $850^{\circ}\text{C}$  به‌مدت زمانهای ۲۴، ۱۶، ۸ و ساعت پیرسخت شدند. برای مشاهده رسوبات مختلف در زمینه از میکروسکپ الکترونی روبشی مدل cam scanMV2300 و برای تعیین ترکیب شیمیایی آنها از روش EDX استفاده شد. نمونه‌های کشش از نوع تخت مطابق با استاندارد ASTM E8M به ضخامت ۲ و طول سنجه‌ی ۳۲ میلی‌متر تهیه شدند، آزمون کشش با سرعت حرکت فک  $0.5$  میلی‌متر بر دقیقه بر روی آنها انجام شد. آزمون کشش برای هر نمونه سه بار تکرار شد. نمونه‌های آزمون کشش از بخش‌های میانی و مرکزی شمش تهیه شدند.

## نتایج و بحث

شمش به‌دست آمده در شرایط ذوب ESR دارای کیفیت سطحی مناسبی بود. این شمش در شکل (۱)

جدول ۱ ترکیب شیمیایی شمش ESR بدون افزودن آلومینیم و ترکیب اولیهٔ آلیاژ

Element	Ni	Cr	Co	Mo	Ta	Nb	w	Al	Ti	Zr	Fe	c
ESR بعد از ذوب	bal.	۱۶	۸/۳	۱/۷	۱/۷	۰/۸	۲/۶	۲/۳	۳/۳	۰/۰۴	۰/۱۳	۰/۱۱
ESR قبل از ذوب	bal.	۱۶	۸/۵	۱/۹	۱/۷	۰/۸	۲/۸	۳/۲	۳/۴	۰/۰۴	۰/۰۹	۰/۱۰

جدول ۲ اندازه‌گیری عنصری شمش بازیافت شده در بخش پایینی، میانی و بالای شمش

عنصر	درصد وزنی استاندارد عنصر	درصد وزنی عنصر (قطع بالای شمش)	درصد وزنی عنصر (قطع میانی شمش)	درصد وزنی عنصر (قطع پایینی شمش)
Ni	bal.	bal.	bal.	bal.
Cr	۱۵/۷-۱۶/۳	۱۶/۱	۱۶/۸	۱۶/۰
Co	۸/۰-۹/۰	۸/۳	۸/۳۲	۸/۲۹
Mo	۱/۵-۲	۱/۷۰	۱/۷۱	۱/۷۲
W	۲/۴-۲/۸	۲/۶۱	۲/۵۸	۲/۵۴
Ta	۱/۵-۲	۱/۷۴	۱/۶۵	۱/۶۷
Nb	۰/۶-۱/۱	۰/۹۲	۰/۹۵	۰/۸۸
Al	۳/۲-۳/۷	۲/۲۱	۳/۲۴	۳/۴۱
Ti	۳/۲-۳/۷	۳/۳۰	۳/۲۵	۳/۲۲
Zr	۰/۰۳-۰/۰۸	۰/۰۶	۰/۰۷	۰/۰۷
B	۰/۰۰۷-۰/۰۱	۰/۰۰۹	۰/۰۱	۰/۰۱
C	۰/۰۹-۰/۱۳	۰/۱۱	۰/۱۳	۰/۱۳

جدول ۳ نتایج اندازه‌گیری گازهای الکترود قبل و پس از ذوب ESR

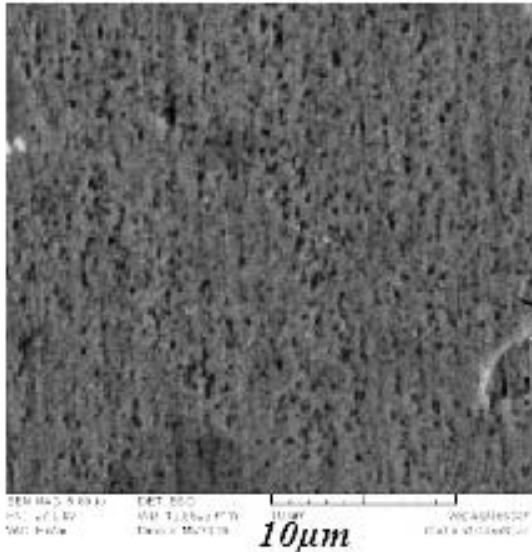
عنصر	N <sub>2</sub>	O <sub>2</sub>	H <sub>2</sub>
غلهٔ از ذوب (ppm)	۲۸	۳۰	۷/۱۱
غلهٔ قبل از ذوب (ppm)	۳۶	۲۵	۰/۴۸

۱۲/۷ برابر شده است. ژوها و همکارانش، [۴]، در تحقیقات خود نشان داده‌اند که هیدروژن از رطوبت موجود در هوا جذب مذاب می‌شود. میزان هیدروژن جذب شده به نوع و میزان رطوبت محیط و ترکیب شیمیایی سرباره بستگی دارد. آن‌ها گزارش کرده‌اند که با استفاده از سرباره از پیش ذوب شده و یا محیط خشی بدون حضور رطوبت می‌توان به میزان زیادی از

مقدادیر اکسیژن، نیتروژن و هیدروژن موجود در شمش پس از ESR با سرباره اصلاح شده و قراضه‌های ذوب شده قبل از ESR، در جدول (۳) آورده شده‌اند. اندازه‌گیری‌ها در بخش‌های مرکزی شمش انجام شدند. مشاهده می‌شود که مقدار گاز نیتروژن کاهش قابل توجهی یافته است، اما غلهٔ اکسیژن ۲۰ درصد افزایش یافته و غلهٔ گاز هیدروژن

کرنشی را ایجاد می‌کنند. به این ترتیب، رسوبات' ۷ به شکل مجزا قابل تشخیص خواهند بود [5]. این رسوبات می‌توانند بدون آنکه هم سیمایی خود را از دست بدهند، تا چند میکرون رشد کنند [6]. در شکل (۳)، رسوبات ریز در شرایط پیرسازی پس از ۱۶ ساعت نشان داده شده است.

شکل (۴) تصویر رسوبات را پس از ۲۴ ساعت پیرسازی نشان می‌دهد. رسوبات در این شکل مکعبی هستند. اندازه‌ی این رسوبات در بازه‌ی ۳۰۰ - ۴۰۰ نانومتر قرار دارد.

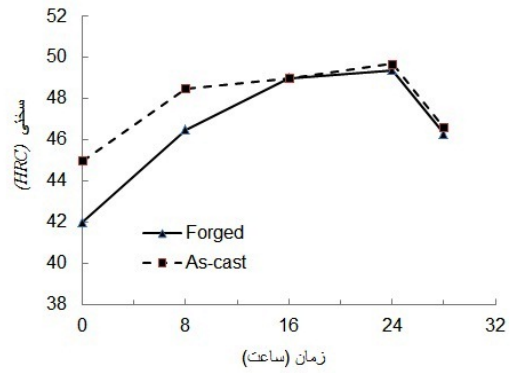


شکل ۳ رسوبات ریز که پس از ۱۶ ساعت پیرسازی جوانه زده‌اند

گزارش شده است که با افزایش زمان پیرسازی در دمای بالا، مطابق با سازوکار اُسوالد ریپنینگ (Oswald Ripening)، ذرات ریز به یکدیگر پیوسته و ذرات درشت‌تری را ایجاد می‌کنند و در نتیجه‌ی آن، تعداد ذرات ریز کمتر شده و اندازه‌ی میانگین آن‌ها افزایش می‌یابد. افزون بر این، با افزایش زمان گرمادهی در دمای ثابت، شکل ذرات از کروی به مکعبی تغییر می‌کند [6]. افزون بر رسوبات مکعبی، تعداد محدودی رسوب‌های کروی به اندازه‌ی ۵۰ تا ۱۰۰ نانومتر که در مرحله‌ی پیرسازی جوانه‌زنی و رشد کرده‌اند

جذب هیدروژن کم کرد.

قبل از انجام عملیات حرارتی پیرسختی، آزمون سختی‌سنگی در نقاط مختلف شمش بازیافت شده انجام شد و سختی ۴۵ راکول C برای آن به دست آمد. پس از انجام عملیات حرارتی تاب‌کاری محلولی در دمای ۱۱۲۰ °C به مدت ۲ ساعت، نمونه‌های به دست آمده از شمش‌های ریختگی و کار شده به مدت زمان ۸، ۱۶، ۲۴ و ۲۸ ساعت پیرسخت شدند تا رفتار آن‌ها با یکدیگر مقایسه شود. شکل (۲) نمودارهای پیرسختی را برای دو حالت ریختگی و کار شده نشان می‌دهد.

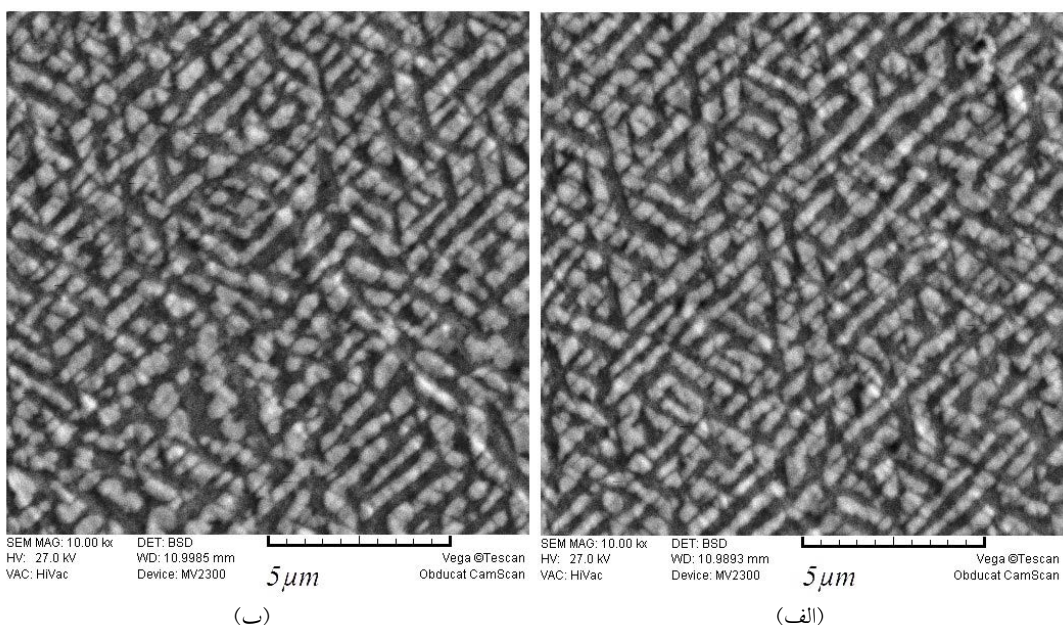


شکل ۲ نمودارهای پیرسختی آلیاژ ریختگی و کار شده؛ پیرسازی در دمای ۸۴۵ °C به مدت زمان‌های ۸، ۱۶، ۲۴ و ۲۸ ساعت

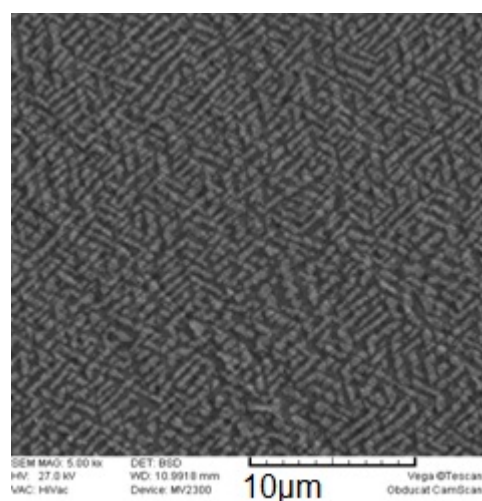
همان‌گونه که در نمودارهای شکل (۲) مشاهده می‌شود، در ابتدا فرایند پیرسازی نرخ افزایش سختی بیش‌تر است. دلیل این رفتار بالاتر بودن غلظت اتمی و همچنین، تعداد جاهای خالی غیرتعادلی و کرنش شبکه‌ی بیش‌تر، و نفوذ سریع‌تر در ابتدا فرایند است [5]. پس از ۲۴ ساعت پیر شدن در دمای ۸۴۵ °C سختی بیشینه به دست آمده است. گزارش شده است که در حین عملیات پیرسازی، جوانه‌زنی ذرات' ۷ در زمینه در مراحل اولیه‌ی رسوب‌گذاری به شکل همگن بوده و رشد آن‌ها با حضور ناجایی‌ها تسريع می‌شود. با افزایش زمان پیرسازی و رشد رسوبات، کرنش‌های هم‌سیمایی به وجود آمده میدان‌های

همان‌گونه که در شکل (۶) مشاهده می‌شود، رسوب‌ها پس از ۲۸ ساعت پیرسازی تا حد چند میکرون رشد کرده و توزیع مناسب آن‌ها از بین می‌رود. این رفتار، مطابق با نمودار شکل (۲)، باعث افت سختی می‌شود. گزارش شده است که با افزایش اندازه‌ی رسوب‌ها تا بیش از حد بحرانی، سختی کاهش می‌یابد [۷].

(رسوب‌های ثانویه) نیز در شکل ۵ مشاهده می‌شوند. به این نوع ساختار رسوبی، ساختار رسوبی با اندازه‌ی دوگانه می‌گویند. این ساختار منطبق بر مُرفولوژی و اندازه‌ی رسوب‌های استاندارد برای آلیاژ IN738LC در این شرایط پیرسازی می‌باشد [۳]. این نتیجه نشان‌گر بازیابی مناسب خواص رسوب سختی آلیاژ IN738 LC به وسیله‌ی ذوب است.



شکل ۴ رسوب‌های مکعبی پس از ۲۴ ساعت پیرسازی؛ (الف) نمونه‌ی ریختگی، و (ب) نمونه‌ی کارشده

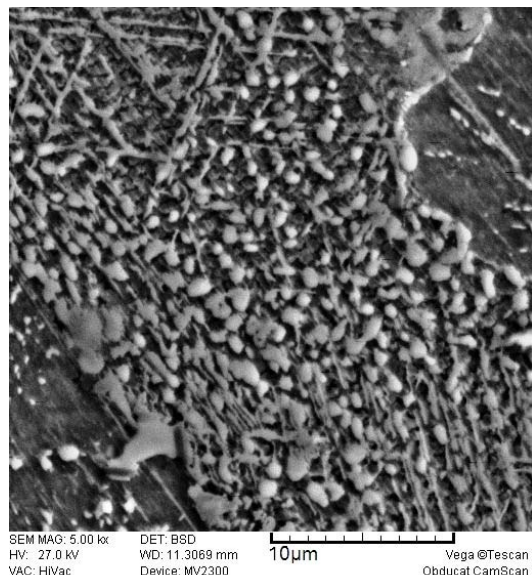


شکل ۵ اندازه‌ی دوگانه‌ی رسوب‌ها پس از ۲۴ ساعت پیرسازی

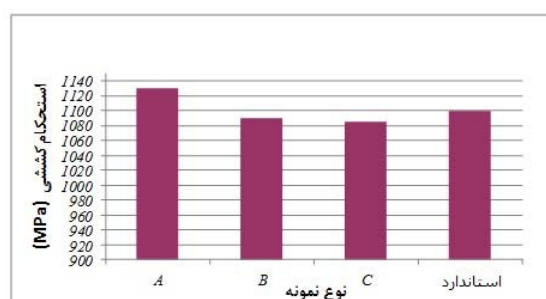
حرارتی (A)، ریختگی و پیرسازی شده در دمای  $845^{\circ}\text{C}$  به مدت ۲۴ ساعت (B)، و نمونه‌ی کارشده و پیرسازی شده در دمای  $845^{\circ}\text{C}$  به مدت ۲۴ ساعت (C) (زمان بیشینه‌ی سختی مطابق با استاندارد گزارش شده برای INCONEL 738 [3]) در دستگاه کشش کشیده شدند. استحکام کششی و تسلیم نمونه‌های A، B و C در شکل‌های (۷) و (۸) با مقادیر استاندارد آن‌ها مقایسه شده‌اند. نمونه‌ی عملیات حرارتی نشده (A) دارای بیشترین استحکام تسلیم و استحکام کششی است، و استحکام‌های کششی و تسلیم دو نمونه‌ی دیگر (B و C) بسیار نزدیک به هم و کمتر از نمونه‌ی (A) هستند.

مقایسه‌ی استحکام تسلیم و کششی نمونه‌های (B) و (C) با استحکام ناشی از عملیات حرارتی استاندارد برای آلیاژ IN738 (تاب‌کاری محلولی به مدت ۲ ساعت در  $1120^{\circ}\text{C}$ ، پیرسازی به مدت ۲۴ ساعت در دمای  $845^{\circ}\text{C}$  [3]) نشان می‌دهد که خواص کششی پس از ذوب و عملیات حرارتی به خوبی حفظ شده‌اند. قفل شدن نابجایی‌های متحرک به وسیله‌ی ذرات رسوب، یکی از سازوکارهای اساسی برای استحکام‌دهی در ساختارهای رسوب سخت شونده است. تحقیقات نشان داده‌اند که رسوب‌های ریزتر با فاصله‌ی کم‌تر بین آن‌ها، استحکام‌دهی بهتری را نتیجه می‌دهند [7]. در نمونه‌های B و C، چند رسوب کوچک‌ترین عملیات پیرسازی یک رسوب درشت‌تر تشکیل داده‌اند و بنابراین، فاصله‌ی بین رسوب‌ها افزایش یافته است. با این حال، این رفتار در نمونه‌ی A رخ نداده است، و استحکام آن بالاتر است. نمونه‌های کارشده و کارنشده پس از عملیات پیرسازی دارای ریزساختار تقریباً یکسانی از نقطه نظر رسوب‌ها (مکعبی و به اندازه‌ی متوسط) می‌باشند. این نمونه‌ها دارای استحکام تسلیم و کششی مشابهی هستند. با این ترتیب می‌توان نتیجه گرفت که عملیات حرارتی نمونه‌ها در سه حالت ریختگی بدون عملیات

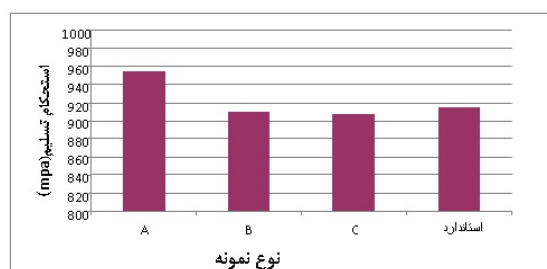
در شکل (۶)، رسوب‌ها شکل مکعبی خود را از دست داده‌اند، و رسوب‌هایی با گوشش‌های تقریباً گرد و رسوب‌هایی رشته‌ای طویل شکل گرفته‌اند.



شکل ۶ توزیع نامناسب رسوب‌ها پس از ۲۸ ساعت پیرسازی



شکل ۷ استحکام کششی نمونه‌های آزمایش



شکل ۸ استحکام تسلیم نمونه‌های آزمایش

نمونه‌ها در سه حالت ریختگی بدون عملیات

اصلاح شده و پیشگرم کردن سرباره قبل از ذوب،  
مقداری افزایش یافت.

۵- در مرحله‌ی پیرسازی پس از ۲۴ ساعت، ساختاری دوگانه‌ای از رسوب‌های مکعبی درشت به اندازه‌ی ۳۰۰ تا ۴۰۰ نانومتر و رسوب‌های ریز کروی به اندازه‌ی ۱۰۰ نانومتر به دست آمد. مقدار بیشینه‌ی سختی در این حالت به دست آمد. با افزایش زمان پیرسازی، رسوب‌ها تا حد چند میکرون رشد کرده و شکل مکعبی خود را از دست دادند. این رفتار باعث کاهش سختی پس از ۲۸ ساعت پیرسازی شد.

۶- استحکام تسليم و کششی نمونه‌ها پس از عملیات حرارتی در مقایسه با استحکام‌های استاندارد آلیاژ مورد مطالعه، قابل قبول بودند. استحکام تسليم و کششی نمونه‌ی عملیات حرارتی نشده بالاتر بودند. این رفتار احتمالاً به دلیل آن است که در نمونه‌ی فوق، رسوب‌های ریزتر با فاصله‌ی کم‌تر تشکیل شده‌اند.

مؤثرترین نقش را بر خواص کششی آلیاژ داشته و انجام کارگرم تأثیر ناچیزی بر این خواص آلیاژ IN738 دارد.

## نتیجه گیری

نتایج زیر را می‌توان از تحقیق انجام شده به دست آورده:

۱- عناصر تنگستن، کبالت، مولیبدن، تانتالیم و نیوبیم با عملیات ذوب به روش ESR، به طور کامل بازیافت شدند.

۲- با افزودن  $TiO_2$  به میزان ۴ درصد وزنی و  $Al_2O_3$  به میزان ۷۰ درصد وزنی به سرباره، و افزودن آلومینیم فلزی به میزان ۳۰ درصد مقدار آن در ترکیب آلیاژ آلومینیم و تیتانیم در محدوده قابل قبول قرار گرفتند.  
۳- میزان اکسیژن با استفاده از سرباره اصلاح شده و جریان برق متناوب برای عملیات ذوب، در حد قابل قبولی باقی ماند.

۴- میزان هیدروژن شمش با استفاده از سرباره

## مراجع

1. Donachi, M. J., Donachi, S. J., "Superalloys a Technical Guide", 2nd edition, Materials Park, OH, 44073-0002, (2002).
2. Sims, C. T., Stoloff, N. S., Hagel, W. C., "Superalloys II", John Wiley & Sons, chapter 7, (1987).
3. Metals Handbook, "Nickel and nickel alloys", ASM International, Vol 2, 3th edition, pp. 428-455, (1990).
4. Zhou-hua, L. Lian-ke J., Zheng-bang L., "Hydrogen pick-up during electroslag remelting Process", *Journal of Iron and Steel Research International*, Vol.18 (4), pp. 19-23, (2011).
5. Vander Molen, E.H., "Control of  $\gamma'$  particle size and volume fraction in the high temperature superalloy udimet 700", *Metallurgical Transactions*, Vol 2, pp.1627-1630, (1971).
6. Monajati, H., Jahazi M., Bahrami, R., Yue, S., "The influence of heat treatment condition on  $\gamma'$  Characteristics in Udimet 720", *Material Science and Engineering A*, Vol. 373, pp.286-273, (2004).
7. Balikci, E., Raman , A., Mirshams, R.A., "Influence of various heat treatment on the microstructure of Polycrystalline IN738LC", *Metallurgical and Materials Transaction A* ,Vol.28A, pp. 1993-2003, (1997).